

散水ろ床の浄化構造に関する二・三の考察

東北大学工学部 松本順一郎
東北学院大学工学部 ○長谷川信夫
三井工業 小林浩志

1. 緒言

散水ろ床の浄化構造は生物性吸着および凝聚と微生物による酸化がその支配因子であり¹⁾、汚水と微生物との接触時間が長くなるにつれてBOD除去が増加するとしてVelz²⁾あるいはHowland³⁾等による式が提唱されている。これらの式では反応速度定数は生物性吸着および凝聚と酸化等をひっくり返めた統括係数として示されており、排水の種類が異なると十分に表わしえず補正したりしなくてはならない欠点がある。それ故、筆者らは浄化に關係する因子をできるだけ分割して実験し、浄化能力（特にBOD除去）に及ぼす影響について論じた。すなわち、一般的の散水ろ床では滞留時間は散水負荷とろ床深さによって定まり、滞留時間のみを独立させてBOD除去に及ぼす影響について調べることは不可能である。そこで筆者らはろ材として傾斜板を用いた散水ろ床を用いて滞留時間がBOD除去に及ぼす影響について実験し、更に生物膜の生化学的性質について調べ、それから散水ろ床の浄化を示す式を導いた。

2. 実験装置および実験方法

実験装置の概略を図-1に示す。ろ材として巾350mm、長さ650mm、厚さ10mmの耐水性ベニヤ板を9枚直列に傾斜させて用い、各ベニヤ板の両端には10mmの角材をつけて汚水が系外に流出しないようにした。このろ床における散水負荷として、一般的の散水ろ床とろ材表面積当たりの負荷が同一になるような散水量を考えた。すなわち、ろ材の表面積を左合⁴⁾、長谷川⁵⁾の値を参考にして70m²/m³とし、ろ床深さを1.8mmにすれば、ろ床におけるろ材の全表面積は126m²/m²×3床面となる。本装置では

$$33 \times 60 \times 9 = 19,820 \text{ cm}^2$$

となり、このろ床に5m³/m²・日の散水負荷をかけるとする

$$\text{と } 5 \times 10^6 \text{ cm}^3/\text{m}^2 \cdot \text{日} \times \frac{19,820 \text{ cm}^2}{1.26 \times 10^6 \text{ cm}^2/\text{m}^2} = 70,700 \text{ cm}^3/\text{日}$$
$$\div 50 \text{ cm}^3/\text{min}$$

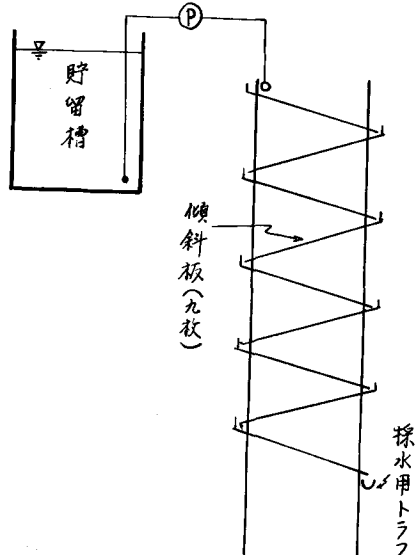


図-1 実験装置

となり、50cm³/minの散水量でよいことになる。

一般的の散水ろ床では、滞留時間と散水負荷とは従量変数であるが、本装置では傾斜板の角度を変化させることによって独立変数になしえるので、散水負荷を一定にして滞留時間を変化させて実験する

ことができる。なお、排水としてし尿消化槽脱離液を水道水で適当に希釀して用いた。

3. 傾斜板式ろ床の滞留時間

実験に用いたろ床における平均滞留時間を求めるために、飽和食塩水を用いて次のような実験を行なった。散水負荷を $7.5 \text{ m}^3/\text{m}^2\cdot\text{日}$ と一定にして、飽和食塩水を $3 \sim 5 \text{ cm}^3$ 暫間的にろ床流入水中に注加して、流出水中の塩素イオン濃度の時間的変化を測定した。これらの関係はろ材表面に生物膜が付着している場合といない場合について調べた。図-2～図-4にそれぞれの結果を示す。図-5には生物膜が付着している傾斜板の角度を変化させた場合の比較をまとめて示した。これらからそれぞれの重心を求めて、注加時よりの時間をろ床における平均滞留時間とした。一般

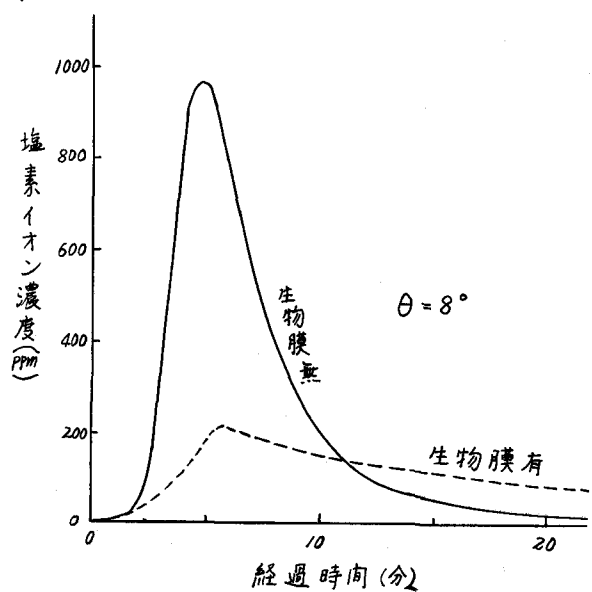


図-2 塩素イオンの時間的変動

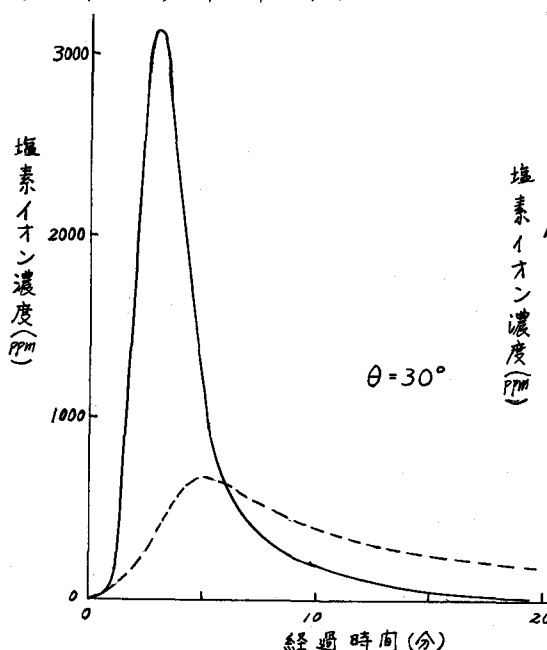


図-4 塩素イオンの時間的変動

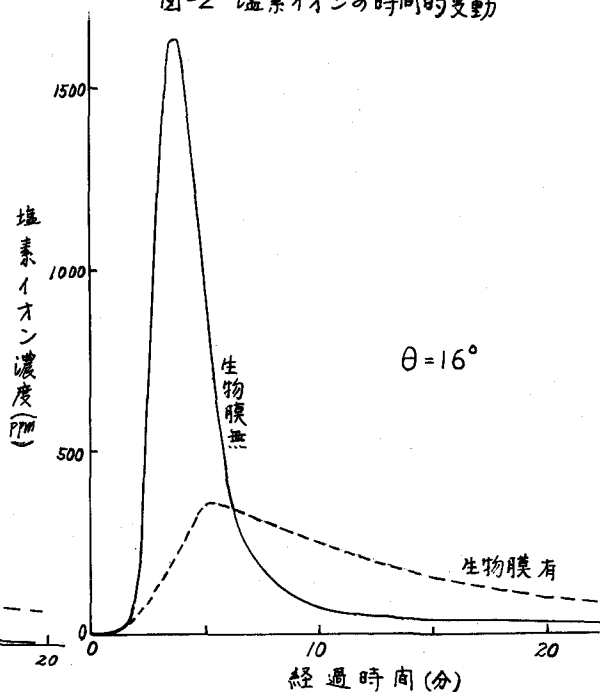


図-3 塩素イオンの時間的変動

の散水ろ床における平均滞留時間は散水負荷によって変動するは勿論のこと各々の研究者によつても多くの差異があり一概には言えないよう推察された。^{5), 6)} 更に、ろ材の径および種類等によって変化することも示されている⁷⁾。散水負荷が $7.5 \text{ m}^3/\text{m}^2\cdot\text{日}$ 程度における平均滞留時間は $400 \sim 2,000 \text{ sec}$ と広い範囲に報告がなされている⁶⁾。

本実験では傾斜板の角度を 8° ~ 30° と変化させたが、それによつて平均滞留時間は生物膜の付着している場合に、 1230 sec ~ 810 sec と変化することが図-5に示されている。このように、傾斜板の角度を変えることによつて、平均滞留時間を変えることができたのでこれらを中心に行なつた。

4. 平均滞留時間とBOD除去

平均滞留時間がBOD除去に及ぼす影響について調べるために、散水負荷を $7.5\text{ m}^3/\text{m}^2\cdot\text{日}$ 、BOD負荷を $0.4\text{ kg/m}^3\cdot\text{日}$ （流入BOD=100ppm）と一定にして、傾斜板の角度のみを 8° 、 12° 、 16° 、 30° と変化させて実験した。実験結果を図-6に示す。図より、傾斜板の表面が粗なことから、傾斜板の角度が

小さい方が初期のBOD除去が良好な結果を示していることがわかる。しかし、経過日数の増加につれてBOD除去率は傾斜板の角度と無関係にはほぼ一定となり、 $50\sim55\%$ を示すことが認められた。実験した範囲では、散水ろ床における平均滞留時間と無関係にBOD除去率が一定であることが示され、従来のBOD除去を示す式³⁾などと矛盾する結果であった。本実験では平均滞留時間は接觸の都合で広い範囲に渡って取ることができなかつたが、それでもBOD除去率は平均滞留時間だけで示されるのではなく他の因子も影響するものと推察される。次に、散水開始後53日目における生物膜の厚さを表-1に示す。なお、傾斜板の角度が 30° の場合は生物膜が脱落して測定不能であった。この表から、散水負荷 $7.5\text{ m}^3/\text{m}^2\cdot\text{日}$ 、BOD負荷 $0.4\text{ kg/m}^3\cdot\text{日}$ の時には傾斜板の角度が増加するにつれて生物膜の厚さは減少する傾向が若干見られるが、一般には $3\sim5\text{ mm}$ であることが認められる。

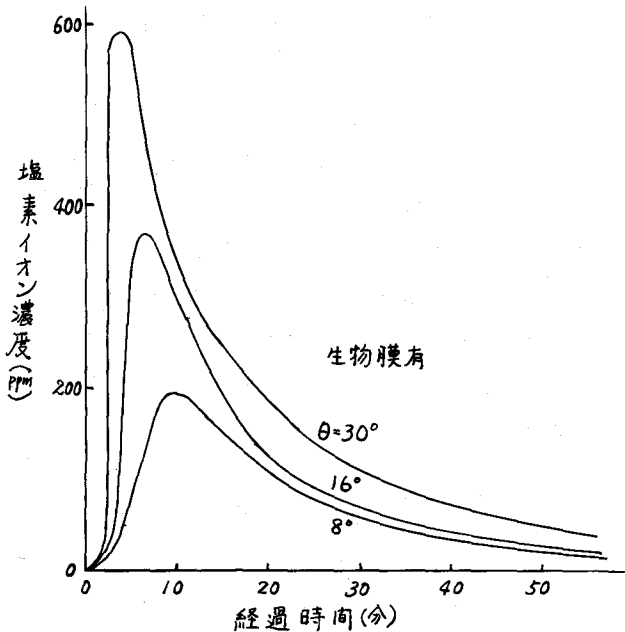


図-5 傾斜板の角度による滞留時間の変化

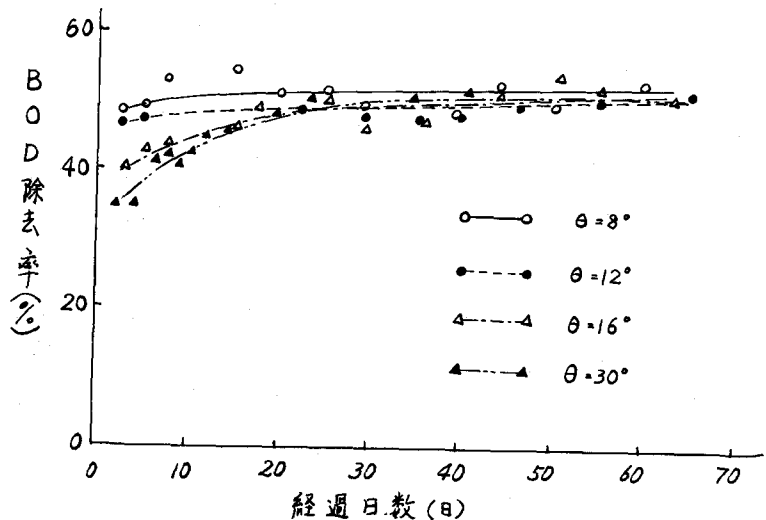


図-6 傾斜板の角度とBOD除去率との関係

5. BOD負荷とBOD除去

前節の結果、傾斜板の角度はBOD除去に影響を及ぼさなかったので、 $\theta = 16^\circ$ 一定にして、散水負荷を $4.0 \text{ m}^3/\text{m}^2\cdot\text{日}$ と $7.5 \text{ m}^3/\text{m}^2\cdot\text{日}$ の場合について、BOD負荷を変化させてBOD除去について調べた。実験結果を図-7に示す。図より

散水負荷が $4.0 \text{ m}^3/\text{m}^2\cdot\text{日}$
 $7.5 \text{ m}^3/\text{m}^2\cdot\text{日}$ のいすれの場合も、BOD負荷が $0.5 \text{ kg}/\text{m}^3\cdot\text{日}$ 以下ではBOD除去率は70% および60%程度とほぼ一定の値を示すが、BOD負荷がそれ以上に増加するとBOD除去率は逆に減少する傾向を示すことが認められる。このような傾向は一般によく認められており、現在まで多くの研究者達^{2) 4) 7) 8)}

によって限界BOD負荷と称されている。すなわち、散水ろ床のろ材単位体積当たりのろ材によって除去されるBODの量には限度があり、その限度内にBOD負荷があればBOD除去率はほぼ一定であり、その限界を超えると除去率は減少する。限界BOD負荷について、標準散水ろ床では $0.1 \sim 0.15$, $0.175 \text{ kg}/\text{m}^3\cdot\text{日}$ 、高張散水ろ床では 1.2 , 1.8 , 2.0 , $2.8 \text{ kg}/\text{m}^3\cdot\text{日}$ であると報告されている例を示した^{5) 6)}。これらから、限界BOD負荷に大きな差があることから、限界の除去BOD量にも差があることが推察される。図-7から、BOD負荷とBOD除去量との

表-1 生物膜の厚さ

θ	3床上端からの距離 m				
	0.5	1.7	2.9	4.1	5.3
8°	4.1	5.0	4.6	3.5	3.3
12	4.5	4.8	4.1	4.1	3.3
16	4.9	5.3	2.9	2.8	2.7

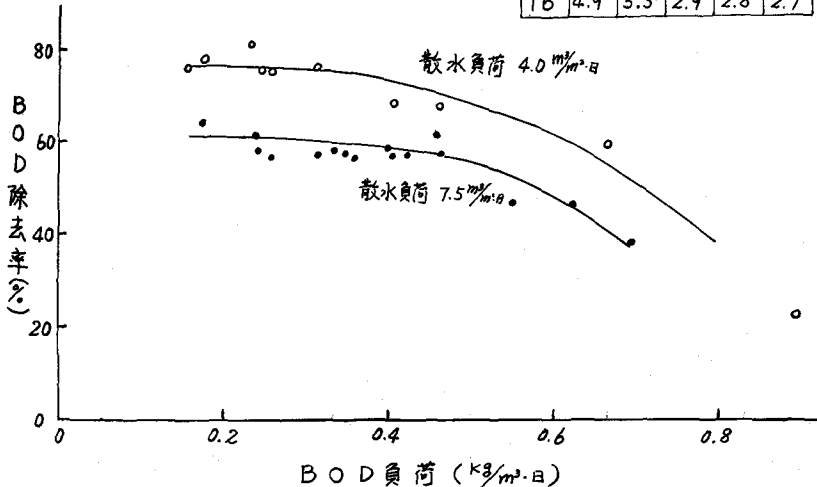


図-7 BOD負荷とBOD除去との関係

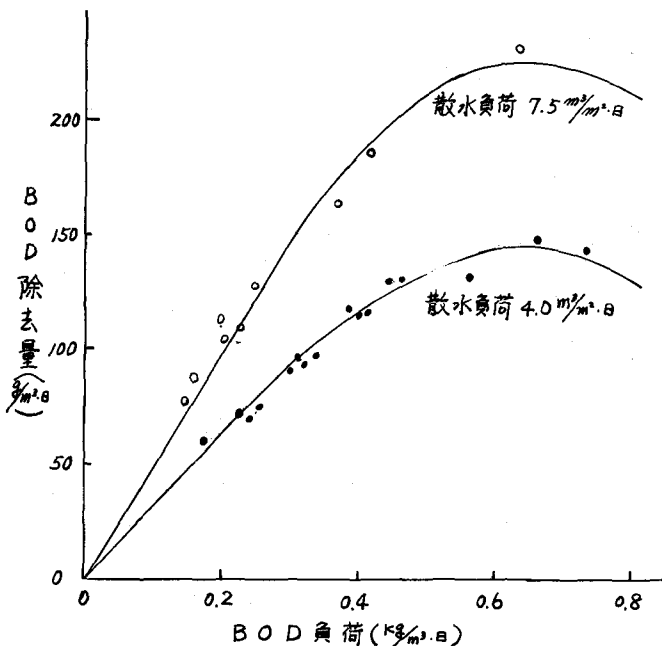


図-8 BOD負荷とBOD除去量との関係

から、BOD負荷とBOD除去量との関係を図-8に示す。図-8より、BOD負荷の増加につれてBOD除去量は増加して行くが、BOD負荷が $0.6 \text{ kg}/\text{m}^3\cdot\text{日}$ を超えるとBOD除去量はかえって減少する傾向もみられ、限界BOD負荷の傾向を示すことがわかる。ところが散水負荷が異なるとBOD除去量に差を生じ、ろ床の単位体積

当りのろ材によって除去されるBODの量には限度があるという仮説と予盾を生ずることわかる。このように限界BOD負荷およびBOD除去量は、散水負荷すなわちろ床における滞留時間により、排水の種類・濃度等によって異なることが予想され、後述するように、ろ床で除去されるBOD成分を細分して各々の除去から考察する必要があると推察される。

6. 生物膜とBOD除去

散水ろ床の生物膜の生物活性について調べるために、生物膜中のDNAと生物膜の酸素消費速度を測定した。まずDNAの測定はSchneider法⁹⁾を基本として用い、シフェニルアミンによるペントース部分の呈色反応によった。散水負荷およびBOD負荷等がDNA量にどのような影響を与えるかについて調べた結果を表-2に示す。表より、実験した範囲の負荷では、DNA量は900~1200mg/l生物膜と負荷とはほぼ無関係に一定であろうと推察された。金子¹⁰⁾は活性汚泥中の核酸量を名古屋市を中心として調査しDNA/VSS=1.2~2.4%程度と報告しており、本実験ではろ床表面積1m²当りの乾燥重量は750g程度、そのうち灰分が28%，生物膜の厚さが5mm程度であったので、生物膜中の揮発性物質は。

$$VSS = \frac{750g}{10000cm^2} \times \frac{1}{0.5cm} \times (1 - 0.28) \\ = 108g/l$$

となり、DNA/VSS=0.8~1.1%程度であることが知れる。これらから、活性汚泥および生物膜における核酸量には大差のないことが推察された。

次に、生物膜の重量について測定した結果を表-3に示す。なお、この場合の散水負荷は7.5mg/m²・日、BOD負荷は0.42kg/m²・日、傾斜板の角度は30°であった。

表-3 生物膜の重量と灰分

ろ床上端から の厚さ m	乾燥重量 g/m ²	灰 分 %
0.5	751	28.0
1.5	769	28.5
3.5	638	25.2
5.0	498	22.5

表-2 負荷とDNA量

θ	散水負荷 mg/m ² ・日	BOD負荷 kg/m ² ・日	ろ床上端から の厚さ m	DNA mg/l
8°	7.5	0.42	1.6	933
8°	7.5	0.42	2.8	930
12	7.5	0.42	1.6	930
16	7.5	0.42	2.8	915
16	4.0	0.22	2.8	995
16	4.0	0.22	4.0	996
16	4.0	0.39	2.8	1180
16	4.0	0.39	4.0	1060
16	4.0	1.54	2.8	1230
16	4.0	1.54	4.0	1160

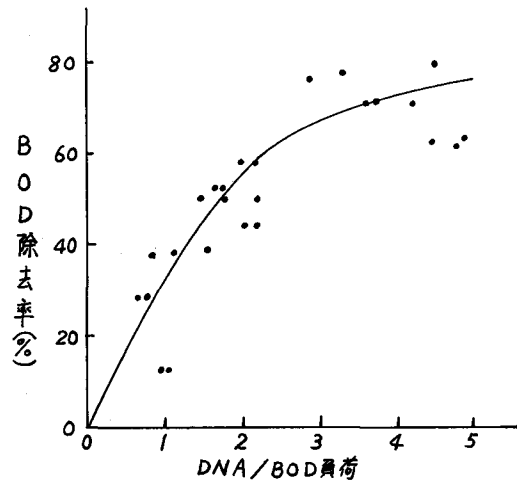


図-9 DNA/BOD負荷とBOD除去率との関係

BOD負荷に対するDNAの比がBOD除去率に及ぼす影響について調べた結果を図-9に示す。図-9より、DNA/BOD負荷をとれはBOD除去率との間に相関関係があることが示される。唯、この関係が如何なる意味を持つかについては未だ不明である。

生物膜の酸素利用速度を測定するため、ワールフルス換気計を用いて実験した。本実験ではろ床に

堆積している汚泥といわゆる生物膜とを分離することは不可能なので、汚泥を含めて試料を採取した。試料は木モシナイスして1ccを使用した。実験の水温は20°C, 振巾を6cm, 振盪数を80rpmとして行なった。その結果 $0.26 \text{ mg O}_2/\text{cm}^3 \cdot \text{hr}$ の酸素利用速度がえられた。長谷川ら¹⁾が回転円筒式散水ろ床を用いて測定したところ $0.37 \text{ mg O}_2/\text{cm}^3 \cdot \text{hr}$ となり類似の酸素利用速度であることがわかった。一方、活性汚泥の酸素利用速度はほぼ $10 \sim 20 \text{ mg O}_2/\text{cm}^3 \cdot \text{hr}$ であり、筆者らの実験から散水ろ床における酸素利用速度は活性汚泥のそれに比して著しく小さいことが推論される。なお、生物膜における生物化学的酸化のために消費される酸素がこのような実験から求められると推察されよう。

7. 考察

一連の実験を通して次のような考察がえられた。

- a) 散水負荷 $7.5 \text{ m}^3/\text{m}^2 \cdot \text{日}$, BOD負荷 $0.42 \text{ kg/m}^3 \cdot \text{日}$ と一定にして、傾斜板の角度を変化させ滞留時間を影響因子として実験した結果、BOD除去率はほぼ一定で50~55%であったことから、次のような考察をした。散水ろ床の浄化構造について考察する時、従来の式ではBOD除去が滞留時間すなわち微生物との反応時間のみに關係すると考えているか、ろ床における流れの生物膜へのセン断力等に伴なうBODの除去のような物理的因素をBOD除去の構造を示す式に導入する必要があると思われた。
- b) 散水負荷を $4.0 \text{ m}^3/\text{m}^2 \cdot \text{日}$ とし、BOD負荷がBOD除去に及ぼす影響について調べたところ、限界BOD負荷は $0.6 \text{ g/m}^3 \cdot \text{日}$ 程度であったが、単位体積当たりのろ材によって除去されるBOD量には限度があると言われている考え方によると、散水負荷が $4.0 \text{ m}^3/\text{m}^2 \cdot \text{日}$ ではBOD除去量は $150 \text{ g/m}^3 \cdot \text{日}$, $7.5 \text{ m}^3/\text{m}^2 \cdot \text{日}$ では $220 \text{ g/m}^3 \cdot \text{日}$ と大きな違いのあることが示された。それ故、BOD成分を生物的凝集によって減少するものと生物●_多的酸化によって減少するものとに分けて考えていく必要があると思われた。
- c) 散水ろ床における生物膜中のDNA量は $900 \sim 1200 \text{ mg/l}$ と活性汚泥に比して大差がないが、しかし、生物膜における酸素利用速度は $0.26 \sim 0.37 \text{ mg O}_2/\text{cm}^3 \cdot \text{hr}$ 程度と活性汚泥に比して小さいことが認められた。

8. BOD除去に関する式の説明

式を説明するに当って、7で述べた事を基にして次のような考え方をした。

- a) ロ床で除去されるBOD成分を生物的凝集によるものと生物●_多的酸化によるものとに区分する。凝集と酸化によるBOD成分のそれぞれの減少速度は残存量に比例するものとする。但し、残存量が多い時(限界BOD量以上のBOD量の時)には減少速度は一定とし、この時の残存量の限界値を限界負荷と称する。

- b) ロ材の種類・形等に起因して、生物膜のセン断力・滞留時間等に影響をうける因子を考え、これはBODの減少速度に直線的に一定であると考える。

以上の仮説にもとづいて式を導くと、

$$\Delta: \text{ロ床で除去される BOD}$$

L_1 : 生物的凝集によって減少する BOD

L_2 : 生物■学的酸化によって減少する BOD

L_0, L_{01}, L_{02} : 各々限界負荷における BOD

t : 時間

k_1, k_2, k_3 : 定数

i) $L_1 > L_{01}, L_2 > L_{02}$

$$\frac{dL}{dt} = -k_1 L_{01} - k_2 L_{02} - k_3 \dots \dots (1)$$

$$L = -(k_1 L_{01} + k_2 L_{02} + k_3)t + C \dots \dots (2)$$

$$t=0 \text{ の時 } L=L'$$

$$\therefore L = -(k_1 L_{01} + k_2 L_{02} + k_3)t + L' \dots \dots (3)$$

ii) $L_1 > L_{01}, L_2 \leq L_{02}$

$$\frac{dL}{dt} = -k_1 L_{01} - k_2 L_2 - k_3 \dots \dots (4)$$

$$L = \exp(-\int k_2 dt) \left\{ \int (-k_1 L_{01} - k_3) \exp(\int k_2 dt) dt + C \right\} \dots \dots (5)$$

$$t=0 \text{ の時 } L=L'$$

$$L = \exp(-k_2 t) \left\{ L' - \frac{k_1 L_{01} + k_3}{k_2} [1 - \exp(k_2 t)] \right\} \dots \dots (6)$$

iii) $L_1 \leq L_{01}, L_2 > L_{02}$

$$\frac{dL}{dt} = -k_1 L_1 - k_2 L_{02} - k_3 \dots \dots (7)$$

$$L = \exp(-\int k_1 dt) \left\{ \int (-k_2 L_{02} - k_3) \exp(\int k_1 dt) dt + C \right\} \dots \dots (8)$$

$$t=0 \text{ の時 } L=L'$$

$$L = \exp(-k_1 t) \left\{ L' - \frac{k_2 L_{02} + k_3}{k_1} [1 - \exp(k_1 t)] \right\} \dots \dots (9)$$

$\Rightarrow L_1 \leq L_{01}, L_2 \leq L_{02}$

$$\frac{dL}{dt} = -k_1 L_1 - k_2 L_2 - k_3 \dots \dots \dots (10)$$

$$L_1 + L_2 = L, L_1 + \alpha L_1 = L \quad (\alpha \neq 1)$$

$$\frac{dL}{dt} = -(k_1 + \alpha k_2)L_1 - k_3 \dots \dots \dots (11)$$

$$L = \exp(-\int (k_1 + \alpha k_2) dt) \left\{ \int (-k_3) \exp(\int (k_1 + \alpha k_2) dt) dt + C \right\} \dots \dots (12)$$

$$t=0 \text{ の時 } L=L'$$

$$L = \exp(-(k_1 + \alpha k_2)t) \left\{ L' - \frac{k_3}{k_1 + \alpha k_2} [1 - \exp((k_1 + \alpha k_2)t)] \right\} \dots \dots (13)$$

以上の式の證算により、(3), (6), (9), および(13)式を得た。従来の BOD 除去に関する式は(13)式において $k_3 = 0$, $k_1 + \alpha k_2 = K$ とした場合に当たる。

参考文献

1. Eckenfelder W.W and O'Connor D.J. "廃水の生物学的処理" 石井重久訳 コロナ社

2. Veltz C. J. "A Basic Law for the Performance of Biological Filters", S.W.J., Vol.20 pp 607~617 (1948)
3. Howland W. E. "Flow over Porous Media as in a Trickling Filters" 12th Ind. Waste Conf., Purdue Univ. pp 435~465 (1958)
4. 左合正雄 "散水汙床の基本問題に関する実験的研究(I)" 水協誌 239号 (昭和29年)
5. 長谷川信夫, 松本順一郎 "散水ろ床に関する実験的研究" 土木学会論文集 106号 pp 7~14 (昭和39年)
6. 長谷川信夫, 松本順一郎 "散水ろ床の機能について" 水処理技術 Vol 7, NO. 4 pp 29~46 (1966)
7. 左合正雄, 森聰 "散水汙床の限界BODに関する実験的研究" 第5回下水道研究発表会講演集 pp 192~194 (昭和43年)
8. Schulze K. L. "Trickling Filter Theory" W.S.W. Vol 32. pp 100~103. (1960)
9. 三浦義彰他 "核酸の定量的検出法" 蛋白質・核酸・酵素 Vol 11. pp 424~
10. 金子光美他 "活性汚泥中の核酸量(第二報)" 第4回下水道研究発表会講演集 pp 103~105 (昭和42年)